

## Impact Factor:

ISRA (India) = 6.317  
ISI (Dubai, UAE) = 1.582  
GIF (Australia) = 0.564  
JIF = 1.500

SIS (USA) = 0.912  
ПИИЦ (Russia) = 3.939  
ESJI (KZ) = 9.035  
SJIF (Morocco) = 7.184

ICV (Poland) = 6.630  
PIF (India) = 1.940  
IBI (India) = 4.260  
OAJI (USA) = 0.350

SOI: [1.1/TAS](#) DOI: [10.15863/TAS](#)

### International Scientific Journal Theoretical & Applied Science

p-ISSN: 2308-4944 (print) e-ISSN: 2409-0085 (online)

Year: 2022 Issue: 03 Volume: 107

Published: 01.03.2022 <http://T-Science.org>

QR – Issue



QR – Article



**Nurillo Raximovich Kulmurotov**

Navoi State Mining Institute  
Senior Lecturer to Department of Technology Engineering,  
docent, Uzbekistan  
[nurillo.Kulmurotov.64@mail.ru](mailto:nurillo.Kulmurotov.64@mail.ru)

**Bobir Xudoyberdievich Eshpulatov**

Navoi State Pedagogical Institute  
Senior Lecturer to Department of Technology Engineering,  
Navoi, Uzbekistan

## PROPAGATION OF WAVES IN A LAYER OF DEFORMABLE MEDIA

**Abstract:** This article discusses the propagation of free waves in flat bodies. In the calculation, the materials of the layers are assumed to be elastic (or viscoelastic). We will consider the passage of waves harmonic in time along a layered medium. Solving this problem, we obtain the relationship between the wave speed and its length. It is established that at  $L/\lambda=0.5$  the first modes of the phase velocity increase monotonically depending on  $L/\lambda$ .

**Key words:** viscoelastic layer, free wave, plane body, wave, phase velocity, three-layer body, mathematical methods.

**Language:** Russian

**Citation:** Kulmurotov, N. R., & Eshpulatov, B. X. (2022). Propagation of waves in a layer of deformable media. *ISJ Theoretical & Applied Science*, 03 (107), 1-6.

**Soi:** <http://s-o-i.org/1.1/TAS-03-107-1> **Doi:**  <https://dx.doi.org/10.15863/TAS.2022.03.107.1>

**Scopus ASCC:** 2200.

### РАСПРОСТРАНЕНИЕ ВОЛН В СЛОЕ НАХОДЯЩИХСЯ В ДЕФОРМИРУЕМЫХ СРЕДАХ

**Аннотация:** В этой статье рассматривается распространение свободных волн в плоских телах. При расчете материалы слоев предполагаются упругими (или вязкоупругими). Будем рассматривать прохождения гармонических во времени волн вдоль слоистую среду. Решая эту задачу, получим зависимость между скоростью волны и ее длиной. Установлено, что при  $L/\lambda=0.5$  первые моды фазовой скорости в зависимости от  $L/\lambda$  монотонно возрастает.

**Ключевые слова:** вязкоупругий слой, свободная волна, плоская тела, волна, фазовая скорость, трехслойная тела, математические методы.

### Введение

Проблемы распространения волн в сплошных многослойных системах привлекают внимание многочисленных исследователей в нашей стране и за рубежом [1,2]. Это обусловлено тем, что во многих областях науки и техники все чаще приходится сталкиваться с необходимостью расчета полей напряжений и деформаций, возникающих в слоистых телах с разными реологическими свойствами при воздействии различного рода динамических нагрузок.

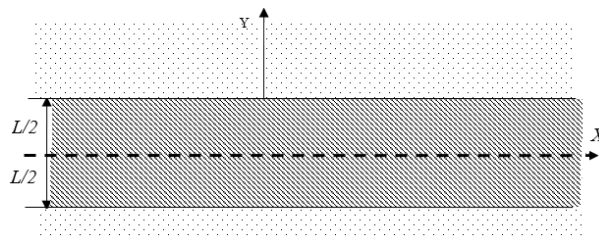
Динамические задачи диссипативных (вязкоупругих) динамических систем решаются методами математической физики. Сложность их решения объясняется многими причинами, например, реологическими свойствами реальных сред (анизотропия, вязкость, ползучесть, пластичность, неоднородности и т. п.), что обуславливает большое разнообразие схематизированных моделей для описания в том или ином приближении реальных явлений и не позволяет создать единую математическую модель

механической системы [3,4]. Несмотря на большое число математических моделей механической системы, математические методы решения задач разработаны, главным образом, для таких систем, как акустические, упругие движения которых описываются линейными дифференциальными уравнениями [5,6]. В [7,8] предпринята попытка определить и оптимизировать диссипативные характеристики, а также напряженно-деформированное состояние механических систем. В данном параграфе рассматривается задача распространения волн напряжения в трехслойной полосе (рис.1). Данная задача относится к проблемам распространения волн напряжения в слоистой среде, часто встречается в научных

[9,10,11,12], публикациях по этим вопросам вследствие их большого значения в геофизике и строительстве. Однако детально разработаны вплоть до численных результатов только те задачи, которые приводят к реальному решению. Комплексными решениями, получение которых достаточно сложно, до сих пор пренебрегали, как не имеющими большого значения.

**2. Постановка задачи и методики решения**

Рассмотрим деформируемый (упругий или вязкоупругий) трехслойной полосе толщиной  $h$ , со свободными поверхностями и пусть в нем распространяется гармоническая волна с фазовой скоростью  $C$  (рис.1).



**Рис. 1. Расчетная схема.**

Ниже мы рассмотрим плоскую задачу, где перемещения не зависят от координаты  $Z$ . Математически эта задача формулируется следующим образом:

$$\begin{aligned} \rho_j \frac{\partial^2 u_j}{\partial t^2} &= \frac{\partial \sigma_{xx}^{(j)}}{\partial x} + \frac{\partial \sigma_{xy}^{(j)}}{\partial y}; \\ \rho_j \frac{\partial^2 \vartheta_j}{\partial t^2} &= \frac{\partial \sigma_{yy}^{(j)}}{\partial y} + \frac{\partial \sigma_{xy}^{(j)}}{\partial x}, \end{aligned} \quad (1)$$

где  $\rho_j$  – плотность материала;  $u_j$  и  $\vartheta_j$  соответственно, перемещения по направлениям  $x$  и  $y$ ; ( $j=1,2,3$ ),  $j$  – номер слоя. Теперь рассмотрим решение дифференциального уравнения (1) для одного слоя. Тогда вместо  $\sigma_{xx}^{(j)}$ ,  $\sigma_{yy}^{(j)}$ , и  $\sigma_{xy}^{(j)}$  подставляем следующие выражения:

$$\begin{aligned} \sigma_{xx}^{(j)} &= \lambda_j \theta_j + 2\mu_j \frac{\partial u_j}{\partial x}; \\ \sigma_{xy}^{(j)} &= \mu_j \left( \frac{\partial u_j}{\partial y} + \frac{\partial \vartheta_j}{\partial x} \right), \\ \sigma_{yy}^{(j)} &= \lambda_j \theta_j + 2\mu_j \frac{\partial \vartheta_j}{\partial y}. \end{aligned} \quad (2)$$

где  $\theta_j = \frac{\partial u_j}{\partial y} + \frac{\partial \vartheta_j}{\partial x}$  – объемное расширение. Подставляя (2) в (1), решение уравнения (1) принимает вид:

$$\begin{aligned} u_j &= U_j(y) e^{i(\omega t - \gamma x)}; \\ \vartheta_j &= V_j(y) e^{i(\omega t - \gamma x)}, \end{aligned}$$

$\omega$  – круговая частота,  $\omega = 2\pi n$ ,  $n$  – частота колебаний;  $\lambda = 2\pi/\gamma$  – длина волны. Подставим (2) в (1), тогда получим следующие обыкновенные дифференциальные уравнения в виде:

$$L_j \frac{dV_j}{dy} - L_{2j} U_j - G_j \frac{d^2 U_j}{dy^2} = 0;$$

$$L_j \frac{dU_j}{dy} - L_{3j} V_j - L_{4j} \frac{d^2 V_j}{dy^2} = 0; \quad (3)$$

где

$$\begin{aligned} L_{1j} &= \left( \frac{E_j v_j}{1 - v_j^2} + G_j \right) i \gamma; L_{2j} = \rho_j \omega^2 - \frac{E_j}{1 - v_j^2} \gamma^2; \\ L_{3j} &= \rho_j \omega^2 - G_j \gamma^2; L_{4j} = \frac{E_j}{1 - v_j^2}. \end{aligned}$$

После введения вспомогательной функции  $\Phi_j$  (у) отношениями

$$U_j = L_{1j} \frac{d}{dy} \Phi_j; V_j = \left[ L_{2j} + G_j \frac{d}{dy^2} \right] \Phi_j,$$

получим из (3) дифференциальное уравнение четвертого порядка

$$\frac{d^4 \Phi_j}{dy^4} + L_{5j} \frac{d^2 \Phi_j}{dy^2} + L_{6j} \Phi_j = 0, \quad (4)$$

где

$$\begin{aligned} L_{5j} &= -2\gamma^2 + \frac{(3 - v_j)\omega^2}{2c_{sj}^2}; \\ L_{6j} &= \gamma^2 - \frac{(3 - v_j)\omega^2 \gamma^2}{2c_{sj}^2} + \frac{\omega^4}{c_{pj}^2 c_{sj}^2}; \end{aligned}$$

В случае вязкоупругого материала  $E_j$  заменяется (4) комплексными величинами, тогда  $C_{pj} = C_{prj} + i C_{plj}$ ;  $C_{sj} = C_{srj} + i C_{slj}$ ;  $C_{pj}$ ,  $C_{sj}$  – соответственно, скорости распространения продольных и поперечных волн;

$C_{prj}$  – скорости распространения продольных волн;  $C_{plj}$  – скорости распространения поперечных волн;  $C_{srj}$  – скорости затухания продольных волн,  $C_{slj}$  – скорости затухания поперечных волн.

Решение уравнений (4) выражается через экспоненциальные функции

$$\Phi_j(y) = A_j e^{\alpha_j y} + B_j e^{-\alpha_j y} + C_j e^{S_j y} + D_j e^{-S_j y}, \quad (5)$$

## Impact Factor:

ISRA (India) = 6.317  
 ISI (Dubai, UAE) = 1.582  
 GIF (Australia) = 0.564  
 JIF = 1.500

SIS (USA) = 0.912  
 ПИНЦ (Russia) = 3.939  
 ESJI (KZ) = 9.035  
 SJIF (Morocco) = 7.184

ICV (Poland) = 6.630  
 PIF (India) = 1.940  
 IBI (India) = 4.260  
 OAJI (USA) = 0.350

где  $\alpha_j^2 = \gamma^2(1 - \frac{c^2}{c_{pj}^2})$ ;  $S_j^2 = \gamma^2(1 - \frac{c^2}{c_{sj}^2})$ ,

где  $A_j, B_j, C_j, D_j$  - произвольные постоянные, которые определяются из граничных условий. В случае

$$(E_j(\omega) = E_j, \eta_j(\omega) = 0) \quad \frac{c^2}{c_{pj}^2} > 1 \text{ и } \frac{c^2}{c_{sj}^2} > 1, \text{ тогда}$$

решение (5) выражается через тригонометрические функции. С помощью уравнений (3) выражаются смещения. Решение уравнения для первого и второго слоя записывается следующим образом

$$u_j = i\gamma[A_j q_j \exp(q_j y) - B_j q_j \exp(-q_j y) + C_j S_j \exp(S_j y) - D_j S_j \exp(-S_j y)]e^{i(\omega t - \gamma x)},$$

$$v_j = [-A_j q_j \exp(q_j y) - B_j q_j \exp(-q_j y) - C_j \gamma^2 \exp(S_j y) - D_j \gamma^2 \cos(-S_j y)]e^{i(\omega t - \gamma x)}. \quad (6)$$

Решение (6) для полупространства записывается в виде:

$$u_2 = i\gamma[A_3 q_3 \sin(q_3 y) - B_3 \cdot q_3 \cos(q_3 y) + C_3 \cdot S_3 e^{S_3 y} - D_3 \cdot S_3 e^{-S_3 y}]e^{i(\omega t - \gamma x)};$$

$$v_2 = [A_3 q_3^2 e^{q_3 y} - B_3 \cdot q_3^{-q_3 y} - C_3 \gamma^2 e^{S_3 y} - D_3 \gamma e^{-S_3 y}]e^{i(\omega t - \gamma x)}, \quad (7)$$

где

$$q_j = \gamma \sqrt{1 - \frac{c^2}{c_{pj}^2}}; \quad s_j = \gamma \sqrt{1 - \frac{c^2}{c_{sj}^2}};$$

$$c_{pj}^2 = (\lambda_j + 2\mu_j)/\rho_j; \quad c_{sj}^2 = \mu_j/\rho_j; \quad i = 1, 2, 3$$

$\omega$  - круговая частота;  $A_j, B_j, C_j, D_j$  - произвольные постоянные, которые определяются из граничных условий. Решения (7) должны удовлетворять условию экспоненциального затухания по координате  $y$  ( $y \rightarrow \infty$ ). Тогда решение (7) для  $y \geq L/2$  и  $y \leq -L/2$  принимает вид:

$$u_3 = (-B_3 i_3 \gamma_3 q_3 e^{-q_3 y} - D_3 \cdot i_3 \gamma_3 e^{-q_3 y})e^{i(\omega t - \gamma x)}$$

$$v_3 = (B_3 i_3 \gamma_3^2 e^{-q_3 y} - D_3 i_3 \gamma^2 e^{-q_3 y})e^{i(\omega t - \gamma x)}. \quad (8)$$

В симметричном движении слоя решение при  $-L/2 \leq y \leq L/2$  записывается в виде

$$u_1 = (A_1 \cdot i \cdot \gamma_1 \cdot q_1 \cos x (q_2 y) + C_2 \cdot i \cdot \gamma \cdot S_2 \cos x (S_2 y))e^{i(\omega t - \gamma x)},$$

$$v_2 = (-A_1 \cdot q_2^2 \cdot \sin x (q_2 y) - C_2 \cdot \gamma^2 \sin x (S_2 y))e^{i(\omega t - \gamma x)}, \quad (9)$$

На контакте  $y = \pm L/2$  выполняются условия равенства перемещений и напряжений

$$(u_1^{(1)})_{y=L/2} = (u_1^{(2)})_{y=L/2};$$

$$(u_1^{(2)})_{y=L/2} = (u_1^{(3)})_{y=-L/2};$$

$$(v_1^{(1)})_{y=L/2} = (v_1^{(2)})_{y=L/2};$$

$$(u_1^{(2)})_{y=-L/2} = (u_1^{(3)})_{y=-L/2};$$

$$(\sigma_{yy}^{(1)})_{y=L/2} = (\sigma_{yy}^{(1)})_{y=L/2};$$

$$(\sigma_{yy}^{(2)})_{y=-L/2} = (\sigma_{yy}^{(3)})_{y=-L/2};$$

$$(\sigma_{xy}^{(1)})_{y=L/2} = (\sigma_{xy}^{(1)})_{y=L/2};$$

$$(\sigma_{xy}^{(2)})_{y=-L/2} = (\sigma_{xy}^{(3)})_{y=-L/2}. \quad (10)$$

На свободной поверхности  $y = l + L/2$  ставится условие свободы от напряжений

$$\sigma_{yy}^{(1)} = \sigma_{xy}^{(1)} = 0. \quad (11)$$

Для определения произвольных постоянных  $A_j, B_j, C_j, D_j$  ( $j=1,2,3$ ) использования граничных условий жесткого контакта (10) и (11) в результате получим 12 алгебраических уравнений 12 неизвестными в виде

$$[C]\{q\} = \{0\},$$

где  $[C]$  квадратная матрица (12x12), элементы которых выражается через тригонометрические и экспоненциальные функции. Необходимым и достаточным условием существования решения этой системы является равенство нулю ее детерминанта.

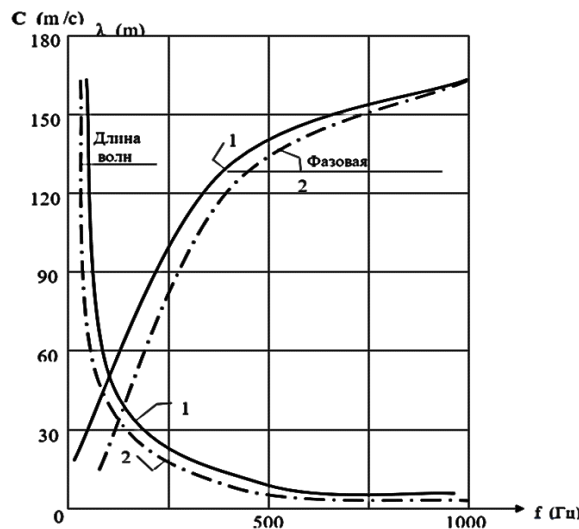


Рис.2 Кривая изменения фазовых скорости изгибных волн напряжения  $C$  и длины волны  $\lambda$  в зависимости от частоты. 1-теоретическое результаты; 2-экспериментальные результаты. 3. В качестве тестовых задач приведем элементы дисперсионного уравнение для двух слой них тел со свободными поверхностями.

## Impact Factor:

ISRA (India) = 6.317  
 ISI (Dubai, UAE) = 1.582  
 GIF (Australia) = 0.564  
 JIF = 1.500

SIS (USA) = 0.912  
 ПИИЦ (Russia) = 3.939  
 ESJI (KZ) = 9.035  
 SJIF (Morocco) = 7.184

ICV (Poland) = 6.630  
 PIF (India) = 1.940  
 IBI (India) = 4.260  
 OAJI (USA) = 0.350

Рассмотрим следующие два случая: пусть  $c < c_2$ , тогда  $q_j$  и  $S_j$  являются действительными числами. Тогда частотное уравнение принимает следующий вид:

$$|A(a_{ij})| = 0, \quad i = 1, 2, \dots, 8; \quad j = 1, 2, \dots, 8; \quad (12)$$

где

$$\begin{aligned} a_{11} &= q_2 \cos(q_2 L/2), \\ a_{12} &= s_1 \cos(s_1 L/2), \\ a_{13} &= q_1 e^{-q_2 L/2}, \\ a_{14} &= s_2 e^{-s_2 L/2}, \\ a_{21} &= -q_2^2 \sin(q_2 L/2), \\ a_{22} &= -\gamma^2 \cos(s_1 L/2), \\ a_{41} &= 2 \cdot q_1^2 \sin(q_1 L/2) \\ a_{42} &= (s_1^2 + \gamma^2) \sin(s_1 L/2); \end{aligned}$$

$$\begin{aligned} a_{43} &= -\rho_1 \cdot E_{22}^2 \cdot (s_2^2 + \gamma^2) e^{-s_2 L/2}, \\ a_{44} &= -\rho_1 \cdot E_{22}^2 \cdot (s_2^2 + \gamma^2) e^{-s_2 L/2}, \\ \rho_0 &= \rho_2 / \rho_1, \\ E_{11} &= C_{p2} / C_{p1}, \\ E_{22} &= C_{s2} / C_{s1}. \end{aligned}$$

Основной целью работы является исследование изменения фазовой скорости  $C_R$  зависимости от длины волны, геометрических и физико-механических параметров системы. В рассматриваемом случае, (если  $E_1 = E_2$ ;  $v_1 = v_2$ ;  $\rho_1 = \rho_2$ , тогда среда работают как одно целое)  $\gamma = \gamma_R$ , где  $\gamma_R = 2 \cdot \pi / \lambda$  - действительная часть волнового числа;  $\lambda$  - длина волны;  $C = \omega / \gamma_R$ . Частотное уравнение (12) решается методом Мюллера.

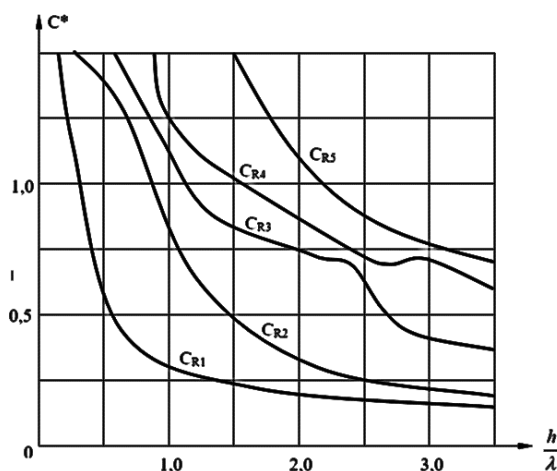


Рис. 3 Изменение фазовых скоростей ( $C_R^*$ ) в зависимости от длины волн

Заметим, что предложенный алгоритм расчета корней уравнения (1) дает удовлетворительные результаты для малых и больших волновых числах. Численные результаты получены при следующих параметрах слоя и окружающей его среды:  $C_{p1} = 2300$  м/с,  $C_{s1} = 1300$  м/с,  $v_1 = 0,35$ ,  $\rho_1 = 0,12$  кг/м<sup>3</sup>;  $C_{p2} = 5400$  м/с,  $C_{s2} = 3100$  м/с,  $v_2 = 0,3$ ,  $\rho_2 = 0,28$  кг/м<sup>3</sup>.

На рис. 2. изображено сравнение теоретических (сплошная линия) и экспериментальных пунктирная линия результатов

[10]. Из рисунка 2 видно, что при длинных волнах теоретические и экспериментальные результаты почти совпадают с разницей 10-15%.

Исследовано изменение первые пять фазовых скоростей от  $\lambda$  (длины волн), для значений параметров ( $\alpha = 1$ ). Результаты расчетов представлены на рис. 2. Из рис. 3 видно, что коренное влияние соприкосновения тела с основанием проявляется в области низких частот, когда соотношения  $h/\lambda < 0,12$ .

Рис.3. 1-по работе [37], 2 –по предлагаемой методике.

$h/\lambda$		0,2	0,4	0,6	0,8	1,0	9,0
$(c/c_0)_1$	1	0,9934	0,951	0,793	0,679	0,620	0,573
	2	0,9927	0,9493	0,7871	0,6792	0,6199	0,5725
$(c/c_0)_2$	1	3,37	1,955	1,503	1,28	1,143	0,772
	2	3,3683	1,9473	1,4982	1,2793	1,1427	0,7716
$(c/c_0)_3$	1		3,152	1,677	1,423	1,155	0,808
	2		3,0965	1,6698	1,4177	1,1482	0,8121
$(c/c_0)_4$	1		4,043	2,706	2,169	1,805	1,155
	2		3,9922	2,6763	2,0781	1,7932	1,1472

## Impact Factor:

ISRA (India) = 6.317  
 ISI (Dubai, UAE) = 1.582  
 GIF (Australia) = 0.564  
 JIF = 1.500

SIS (USA) = 0.912  
 ПИИЦ (Russia) = 3.939  
 ESJI (KZ) = 9.035  
 SJIF (Morocco) = 7.184

ICV (Poland) = 6.630  
 PIF (India) = 1.940  
 IBI (India) = 4.260  
 OAJI (USA) = 0.350

Пусть  $c > c_2$ , тогда  $q_j$  и  $S_j$  являются комплексными числами. В этом случае корни частотное уравнение (12) станут мнимыми, т.е. свободное волны не существует.

Рассмотрим распространение свободных волн в полосе, находящейся в упругой безграничной среде (рис. 1). Тогда решение уравнения (1) с учетом (2) примет вид

$$U_2 = i\gamma(A_2q_2 \cos q_2 y + B_2q_2 \sin q_2 y + C_2S_2 \cos S_2 y + D_2S_2 \sin S_2 y)e^{i(\omega t - \gamma x)};$$

$$-L/2 \leq y \leq L/2$$

$$\vartheta_2 = (-A_2q_2^2 \sin q_2 y - B_2q_2^2 \cos q_2 y - C_2\gamma^2 \sin S_2 y - D_2\gamma^2 \cos S_2 y)e^{i(\omega t - \gamma x)}$$

$$U_1 = i\gamma(A_1q_1 e^{q_1 y} + B_1q_1 e^{-q_1 y} + C_1S_1 e^{S_1 y} + D_1S_1 e^{-S_1 y})e^{i(\omega t - \gamma x)}, \quad -L/2 \leq y \leq L/2$$

$$\vartheta_1 = (-A_1q_1^2 e^{q_1 y} - B_1q_1^2 e^{-q_1 y} - C_1\gamma^2 e^{S_1 y} - D_1\gamma^2 e^{-S_1 y})e^{i(\omega t - \gamma x)}; \quad y \geq L/2; \quad y \leq -L/2.$$

Здесь  $A_1, B_1, C_1, D_1, A_2, B_2, C_2, D_2$  произвольные постоянные;

$$q_j = \gamma \sqrt{1 - \frac{c^2}{c_{pj}^2}}; \quad S_j = \gamma \sqrt{1 - \frac{c^2}{c_{sj}^2}}; \quad (\tau = 1, 2)$$

Введены параметры  $\rho_0 = \rho_1/\rho_2$ ;  $\bar{C}_p = C_{p1}/C_{p2}$ ;  $\bar{C}_s = C_{s1}/C_{s2}$ .

Рассмотрим дисперсионное соотношение для симметричных волн. В этом случае перемещение среды при  $y \geq L/2$  и  $y \leq -L/2$

$$U_1 = (-B_1 i \gamma q_1 e^{q_1 y} - D_1 i \gamma S_1 e^{S_1 y})e^{i(\omega t - \gamma x)};$$

$$V_1 = (\mp B_1 q_1^2 e^{q_1 y} \mp D_1 \gamma^2 S_1 e^{S_1 y})e^{i(\omega t - \gamma x)}.$$

Перемещения слоя  $-L/2 \leq y \leq L/2$  принимает следующий вид:

$$V_2 = (-A_2 q_2^2 \sin q_2 y - C_2 \gamma^2 S_1 \sin S_2 y)e^{i(\omega t - \gamma x)};$$

$$U_2 = (A_2 i \gamma q_2 \cos q_2 y + C_2 i \gamma S_2 \cos S_2 y)e^{i(\omega t - \gamma x)}.$$

На границе контакте  $y = \pm L/2$  выполняется условия равенство напряжений и перемещений

$$|a_{ij}| = 0; i = 1, 2, 3, 4; j = 1, 2, 3, 4;$$

где

$$a_{11} = q_2 \cos \frac{q_2 L}{2};$$

$$a_{21} = -q_2^2 \sin \frac{q_2 L}{2};$$

$$a_{12} = S_2 \cos \frac{S_2 L}{2};$$

$$a_{13} = q_1 e^{-q_1 \frac{L}{2}};$$

$$a_{14} = S_1 e^{-S_1 \frac{L}{2}};$$

$$a_{22} = -\gamma^2 \sin \frac{S_2 L}{2}; \quad a_{23} = -q_1^2 e^{-q_1 \frac{L}{2}};$$

$$a_{24} = \gamma^2 e^{-\frac{S_1 L}{2}}; \quad a_{32} = -S_2 \gamma^2 (1 - v_2) \cos \frac{q_2 L}{2};$$

$$a_{33} = -\rho_0 \bar{C}_p q_1 (q_1^2 - v_1 \gamma^2) e^{-\frac{q_1 L}{2}};$$

$$a_{42} = (S_2^2 + \gamma^2) \sin \frac{S_2 L}{2};$$

$$a_{34} = -\rho_0 \bar{C}_p S_1 \gamma^2 (1 - v_1) e^{-\frac{S_1 L}{2}};$$

$$a_{41} = 2q_2^2 \sin \frac{q_2 L}{2};$$

$$a_{43} = -2\rho_0 \bar{C}_p q_1^2 e^{-\frac{q_1 L}{2}};$$

$$a_{44} = -\rho_0 \bar{C}_p (S_1^2 + \gamma^2) e^{-\frac{S_2 L}{2}}.$$

В первом случае рассмотрим следующие соотношение параметров  $\rho_0 > 1$ ;  $\bar{C}_p > 1$ . Результате расчетов получим при следующих значениях параметров  $C_{p2}=2300$  м/с  $C_{s2}=1311$  м/с  $C_{p1}=5400$  м/с  $C_{s1}=3196$  м/с;

$$v_2 = 0.35; v_1 = 0.3;$$

$$\rho_2 = 0,126 \text{ кг. с}^2/\text{м}^4, \rho_1 = 0,283 \text{ кг. с}^2/\text{м}^4.$$

Результаты расчетов на ЭВМ приведены на рис.2.4 при  $C < C_{s1}$ .

В этом случае безразмерные фазовые скорости  $\chi = C/C_{p2}$  является действительными и

$\chi = f(C/\lambda)$ . Численные результаты получены при различных значениях  $n$ . Из результатов видно, что с увеличением  $n$  фазовые скорости пропорционально увеличиваются. В дальнейшем  $L/\lambda \rightarrow \infty$ , фазовые скорости не изменяются, т.е. почти не изменяется в зависимости от длины волн.

Во втором случае рассмотрим следующее соотношение параметров  $\rho_0 < 1$ ;  $\bar{C}_p < 1$ ;  $\bar{C}_s < 1$ ; т.е.  $C_{p2}=5400$  м/с;  $C_{s2}=3195$  м/с;  $C_{p1}=2300$  м/с;  $C_{s1}=1311$  м/с;  $v_2 = 0.3$ ;  $v_1 = 0.35$ ;  $\rho_2 = 0,283 \text{ кг. м}^{-4}/\text{сек}^2$ ,  $\rho_1 = 0,126 \text{ кг. м}^{-4}/\text{сек}^2$  или  $\rho_0 = 0,4452$ ;  $\bar{C}_p = 0,4259$ ;  $\bar{C}_s = 0,4203$ .

Из полученных результатов вытекает, что фазовые скорости станут мнимыми.

**В качестве тестовых задач** рассмотрим распространение продольных волн в упругой полосе с свободными краями. При этом будем исходить из дифференциальных уравнений движения линейной теории упругости для плоской задачи в состоянии поверхностного напряжения. Выводится частотное уравнение для продольных синусоидальных волн в напряженной полосе стенки со свободными краями

$$\frac{tg \frac{sl}{2}}{tg \frac{ql}{2}} = \frac{4\pi^2 e^2 ql sl}{\lambda^2 \frac{s}{2} \left[ \pi^2 \frac{l^2}{\lambda^2} + \left( \frac{s}{2} \right)^2 \right]^2},$$

где

$$\frac{sl}{2} = \pi \frac{l}{\lambda} \sqrt{1 - \frac{c^2}{c_2^2}}; \quad \frac{ql}{2} = \pi \frac{l}{\lambda} \sqrt{1 - \frac{c^2}{c_1^2}}$$

$$c_2 = \sqrt{\epsilon/(s(l - \gamma^2))}; \quad c_1 = \sqrt{G/s};$$

$$q = f \sqrt{1 - c^2/c_1^2}; \quad S = f \sqrt{1 - c^2/c_2^2},$$

$f$  – волновое число. Вычисляются дисперсионные кривые фазовых скоростей. Результаты расчетов которых приведены в таблице 1 ( $v = 0,29$ ).

Найдено, что фазовая скорость для коротких волн является немонотонная функция длины волн. Для  $L/\lambda > 0.5$  фазовые скорости монотонно убывают и приближаются к асимптоте. Из численных результатов вытекает, что распространение волн напряжения трехслойном

## Impact Factor:

ISRA (India) = 6.317  
ISI (Dubai, UAE) = 1.582  
GIF (Australia) = 0.564  
JIF = 1.500

SIS (USA) = 0.912  
ПИИЦ (Russia) = 3.939  
ESJI (KZ) = 9.035  
SJIF (Morocco) = 7.184

ICV (Poland) = 6.630  
PIF (India) = 1.940  
IBI (India) = 4.260  
OAJI (USA) = 0.350

теле осуществляется при высших частотах, как в свободном слое. Установлено, что при  $L/\lambda=0.5$  первые моды фазовой скорости в зависимости от  $L/\lambda$  изменялись монотонно возрастая. Во втором

случае фазовые скорости различных мод сопровождались сильными затуханиями.

## References:

1. Aki, K., & Richard, P. (1983). *Kolichestvennaya seismologiya*. (p.519). Moskva: Mir, tom 1.
2. Aynola, L.A., & Nigus, U.K. (1965). Volnoviye protsessi deformatsii uprugix pliti oboloček. - *Izv. ANR*, 14, №1, pp.3-63.
3. Babich, V.M., & Molotov, I.A. (1977). Matematicheskiye metodi v teorii uprugix voln. - *Mexanika deformiruyushogo tverdogo tela*, VINITI, 10, pp. 5-62.
4. Brepta, R. (1971). Rasprostraneniye prodolinix voln v tonkix poyasax s reologicheskimi svoystvami. - *Krakov, Stroy i chas.*, XXII,5, pp.433-447.
5. Brexovskiy, L.M., & Goncharov, V.V. (1982). *Vvedeniye v mexaniku sploshnix sred.* (p.335). Moscow: Nauka.
6. Viktorov, I.A. (1966). *Fizicheskiye osnovi primeneniya ultrazvukovix voln Releya v Lemba v texnike*. (p.168). Moscow: Nauka.
7. Godunov, S.K. (n.d.). O chislennix reshenii krayevix zadach dlya sistem lineynix obiknovennix differentsialnix uravneniy// – *Uspexi matematicheskix nauk*, 1061, T.16, vip. 3, 171-174.
8. Grinchenko, V.T., & Maleshko, V.V. (1981). *Garmonicheskiye kolebaniya i volni uprugix telax*. (p.283). K.: Nauka dumki.
9. Deyvis, R.M. (1961). *Volni napryajeniy v tverdex telax*. (p.104). Moscow: iz-vo inostr. Liter..
10. Kayumov, S.S., & Safarov, I. I. (2004). *Rasprostraneniye i difraktsiya voln v dissipativno - neodnorodnyx silindricheskix deformiruyemix mexanicheskix sistemax*. (p.215). Toshkent: Fan.
11. Safarov, I.I., Kulmuratov, N.R., Teshaeв, M.K., & Kuldashov, N.U. (2019). Interaction of No stationary Waves on Cylindrical Body. *Applied Mathematics*, 10, pp.435-447. <http://www.scirp.org/journal/am>
12. Safarov, I.I., Kulmuratov, N.R., & Kuldashov, N.U. (2019). Diffraction of Surface Harmonic Viscoelastic Waves on a Multilayer Cylinder with a Liquid. *Applied Mathematics*, 10, pp. 468-484. <http://www.scirp.org/journal/am>